

По физическому смыслу поставленной задачи положительные числа  $M, K$  являются малыми, а число  $T$  не мало. Нетрудно доказать, что приближения, определяемые формулами (6.4), образуют сходящуюся последовательность к искомому частному решению системы (6.3). Для этого рассмотрим ряды  $x_i^{(1)} + [x_i^{(2)} - x_i^{(1)}] + \dots$

$\dots + [x_i^{(m)} - x_i^{(m-1)}] + \dots$  ( $i=1, 2$ ). Члены рядов по модулю меньше членов знакоположительного числового ряда, общий член которого равен  $M(2K)^{m-1}T^m(m!)^{-1}$ . Сумма этого ряда  $S = 1/2MK^{-1}(e^{2KT}-1)$ . Поэтому в промежутке  $0 \leq t \leq T$  равномерно сходятся и ряды (6.6), суммы которых обладают следующими свойствами: 1) удовлетворяют нулевым начальным условиям; 2) удовлетворяют системе дифференциальных уравнений (6.3); 3) являются единственным частным решением этой системы уравнений при нулевых начальных условиях. Заметим, что построенные последовательные приближения ввиду малости чисел  $M, K$  сходятся очень быстро и для приближенной оценки частного решения может быть использовано неравенство  $|x_i(t)| \leq 1/2MK^{-1}(e^{2KT}-1) \approx MT$  ( $i=1, 2$ ).

Поступила 16 IX 1974

#### ЛИТЕРАТУРА

- Ишилинский А. Ю. Об уравнениях задачи определения местоположения движущегося объекта посредством гироскопов и измерителей ускорений. ПММ, 1957, т. 24, вып. 6.
- Андреев В. Д. Теория инерциальной навигации. Автономные системы. М., «Наука», 1966.
- Quasius G. K. Strapdown inertial guidance. Space Aeronaut, 1963, vol. 40, No. 3. (Рус. перев.: Вопросы ракетной техники, 1964, № 5.)
- Бабушкин С. А. Самонастраивающаяся система с нелинейной моделью. В кн.: Самонастраивающиеся автоматические системы. М., «Наука», 1965.
- Darboux G. Leçons sur la théorie générale des surfaces et les applications géométriques du calcul infinitésimal, t. 1. Paris, Gauthier-Villars, 1887.
- Лурье А. И. Аналитическая механика. М., Физматгиз, 1961.
- Барбашин Е. А. Введение в теорию устойчивости. М., «Наука», 1967.
- Булгаков Б. В. Колебания. М., Гостехиздат, 1954.

УДК 629.49:533.6

#### К ИССЛЕДОВАНИЮ ДИНАМИКИ СПУСКА ЛЕТАТЕЛЬНОГО АППАРАТА С ПОСТОЯННЫМ УГЛОМ НАКЛОНА ТРАЕКТОРИИ

О. А. ПРИВАРНИКОВ

(Запорожье)

Изучается плоское угловое движение летательного аппарата под воздействием возмущающих и управляющих моментов при спуске в атмосфере с постоянным углом наклона траектории. Показано, что дифференциальное уравнение переходного процесса сводится к неоднородному уравнению Уиттекера. Получены приближенные аналитические зависимости изменения угла атаки с высотой для случая неколебательного переходного процесса. Колебательный переходный процесс исследован в [1].

Дифференциальное уравнение, описывающее переходный процесс при спуске с постоянным углом траектории в случае управления подъемной силой, согласно [1], записано в виде.

$$\frac{d^2\alpha}{dh^2} - (b\rho + c_2\rho e^{-\gamma_2 h\rho}) \frac{d\alpha}{dh} + (a\rho + c_1\rho)\alpha = v_1 e^{kh} + v_2 + v_3 e^{\gamma_2 h\rho} + v_4 e^{-\gamma_2 h\rho} + v_5 \rho e^{\gamma_2 h\rho} + N\rho \quad (1)$$

где все обозначения соответствуют [1]. Серийей последовательных замен уравнение (1) приводим к виду

$$\alpha = y(\tau), \quad \tau = e^{-\gamma_2 Ah} = \rho^{\gamma_2}, \quad y = z \exp \left( -\frac{1}{2} \int \left( \frac{1}{\tau} + \frac{2b}{A}\tau + \frac{2c_2}{A}\tau e^{-\gamma_2 h\tau^2} \right) d\tau \right)$$

$$\frac{d^2z}{d\tau^2} + I(\tau)z = f(\tau), \quad I(\tau) = 4A^{-2}(a+c_1) - 2bA^{-1} + \frac{1}{4}\tau^{-2} - \tau^2 A^{-2} [(b+c_2 e^{-1/2k\tau^2})^2 - c_2 k A e^{-1/2k\tau^2}] - 2c_2 A^{-1} e^{-1/2k\tau^2} \\ f(\tau) = 4A^{-2}\tau^{-3/2}(v_1 e^{k\tau^2} + v_2 + v_3 e^{1/2k\tau^2} + v_4 e^{-1/2k\tau^2} + v_5 \tau^2 e^{1/2k\tau^2} + N\tau^2) \exp(1/2bA^{-1}\tau^2 - c_2 k^{-1} A^{-1} e^{-1/2k\tau^2}) \quad (2)$$

На большей части траектории можно принять

$$\exp(-1/2k\rho) \approx 1 - 1/2k\rho, \quad \rho < k^{-1} \quad (3)$$

Учитывая (3) и пренебрегая малыми слагаемыми ( $\sim \tau^4$ ), приводим  $I(\tau)$  к виду

$$I(\tau) \approx a_2 - \mu_2 \tau^2 + 1/4\tau^{-2}, \quad a_2 = 4A^{-2}(a+c_1) - 2A^{-1}(b+c_2) \\ \mu_2 = (b+c_2)^2 A^{-2} - 2c_2 k A^{-1} \quad (4)$$

Таким образом, соответствующее (2) однородное уравнение может быть представлено в форме

$$4\tau^2 \frac{d^2z}{d\tau^2} + (4a_2\tau^2 - 4\mu_2\tau^4 + 1)z = 0 \quad (5)$$

Уравнение (5) родственно уравнению Уиттекера и соответствующими подстановками [2] сводится к нему. Если обозначить через  $W_{\lambda, \mu}(\tau)$  решение уравнения Уиттекера, то решение (5) примет вид

$$z_1 = \tau^{-1/2} W_{\lambda, 0}(\sqrt{\mu_2}\tau^2), \quad \lambda = a_2/4\sqrt{\mu_2}, \quad \mu = 0 \quad (6)$$

Согласно (4)  $\mu_2 > 0$ , т. е. аргумент функции  $W_{\lambda, \mu}(\tau)$  действителен и  $\mu$  — целое ( $\mu=0$ ), поэтому  $W_{-\lambda, \mu}(-\tau)$  не является решением уравнения Уиттекера, и для построения фундаментальной системы решений (5) второе частное решение  $z_2$  следует искать в виде

$$z_2 = z_1 \int z_1^{-2} d\tau \quad (7)$$

Тогда общее решение (2) может быть записано в форме

$$z = C_1 z_1 + C_2 z_1 \int_{\tau_0}^{\tau} z_1^{-2} d\tau + z_1 \int_{\tau_0}^{\tau} z_1^{-2} \varphi(\tau) d\tau, \quad \varphi(\tau) = \int z_1 f(\tau) d\tau \quad (8)$$

Несмотря на то что (8) является решением уравнения (2) в квадратурах, его практическое применение эффективно лишь в следующих случаях:  $a_2 > 0$ ,  $a_2 \gg |1/4\tau^{-2} - \mu_2\tau^2|$ ;  $\sqrt{\mu_2}\tau^2 \gg 1$ . Первый случай соответствует устойчивому колебательному переходному процессу и подробно изучался в [1]. Для рассмотрения второго случая воспользуемся асимптотическим представлением [2] функции  $W_{\lambda, 0}(\sqrt{\mu_2}\tau^2)$

$$W_{\lambda, 0}(\sqrt{\mu_2}\tau^2) \approx e^{-1/2\sqrt{\mu_2}\tau^2} (\sqrt{\mu_2}\tau^2)^\lambda \left\{ 1 + \sum_{n=1}^{\infty} \frac{(-1)^n}{n! (\sqrt{\mu_2}\tau^2)^n} \prod_{v=1}^n \left( \lambda + \frac{1}{2} - v \right)^2 \right\} \quad (9)$$

Если  $\sqrt{\mu_2}\tau^2 \gg \lambda^2$ , можно ограничиться в (9) первым слагаемым

$$W_{\lambda, 0}(\sqrt{\mu_2}\tau^2) \approx e^{-1/2\sqrt{\mu_2}\tau^2} (\sqrt{\mu_2}\tau^2)^\lambda, \quad \sqrt{\mu_2} \gg \lambda^2 \tau^{-2} \quad (10)$$

С учетом (6), (8), (10) и начальных условий при  $\tau=\tau_0$  общее решение (2) примет вид

$$z = z_1(\tau) \{ p_1(\tau_0) + p_2(\tau_0) [g(\tau, \lambda) - g(\tau_0, \lambda)] + G(\tau, \lambda) - G(\tau_0, \lambda) \}$$

$$z_1(\tau) = \tau^{-1/2} e^{-1/2\sqrt{\mu_2}\tau^2} (\sqrt{\mu_2}\tau^2)^\lambda, \quad p_1(\tau_0) = z(\tau_0)/z_1(\tau_0)$$

$$p_2(\tau_0) = z_1(\tau_0) z'_1(\tau_0) - z(\tau_0) z_1'(\tau_0) - \varphi(\tau_0)$$

$$z(\tau_0) = \alpha_0 \tau_0^{1/2} \exp(1/2bA^{-1}\tau_0^2 - 1/2c_2 k^{-1} A^{-1} e^{-1/2k\tau_0^2})$$

$$g(\tau, \lambda) = \int z_1^{-2} d\tau, \quad G(\tau, \lambda) = \int z_1^{-2} \varphi(\tau) d\tau, \quad \varphi(\tau) = \int z_1 f(\tau) d\tau$$

$$f(\tau) = 4A^{-2}e^{-c_2/kA}\tau^{-3/2} \left( \sum_{i=1}^4 v_i e^{r_i \tau^2} + v_5 \tau^2 e^{r_3 \tau^2} + v_6 \tau^2 e^{r_2 \tau^2} \right)$$

$$r_1 = k+1/2A^{-1}(b+c_2), \quad r_2 = r_1 - k, \quad r_3 = r_1 - 1/2k, \quad r_4 = r_1 - 3/2k, \quad v_6 = N \quad (14)$$

Учитывая, что  $\sqrt{\mu_2} \tau^2 \gg 1$ , последовательным интегрированием по частям находим асимптотическое представление для  $g(\tau, \lambda)$

$$g(\tau, \lambda) = \frac{e^{\sqrt{\mu_2} \tau^2}}{2\sqrt{\mu_2}} (\sqrt{\mu_2} \tau^2)^{-2\lambda} \eta(\tau, \lambda) \quad (12)$$

$$\eta(\tau, \lambda) = 1 + \frac{2\lambda}{\sqrt{\mu_2} \tau^2} - \frac{2\lambda(2\lambda+1)}{(\sqrt{\mu_2} \tau^2)^2} + \frac{2\lambda(2\lambda+1)(2\lambda+2)}{(\sqrt{\mu_2} \tau^2)^3} - \dots, \quad \sqrt{\mu_2} \gg 2|\lambda|\tau^2$$

При определении  $\varphi(\tau)$  экспоненциальную функцию, входящую в подынтегральное выражение, раскладываем в ряд

$$\begin{aligned} \varphi_i(\tau) &= 4A^{-2}v_i e^{-c_2/kA} \mu_2^{\lambda/2} \tau^{2\lambda-1} \psi_i(\tau, \lambda), \quad \psi_i(\tau, \lambda) = \sum_{n=0}^{\infty} \frac{(p_i \tau^2)^n}{n! (2n+2\lambda-1)} \quad (i=1,2,3,4) \\ \psi_i(\tau, \lambda) &= \tau^2 \sum_{n=0}^{\infty} \frac{(p_i \tau^2)^n}{n! (2n+2\lambda+1)} \quad (i=5,6), \quad p_i = r_i - \frac{1}{2}\sqrt{\mu_2}, \quad p_5 = p_3, \quad p_6 = p_2 \end{aligned} \quad (13)$$

Так как  $c_2 A^{-1} \gg k$  и  $c_2 \gg b$ , приближенно можно принять

$$1/2\sqrt{\mu_2} \approx 1/2(b+c_2)A^{-1} - 1/2k, \quad p_1 \approx 3/2k, \quad p_2 \approx 1/2k, \quad p_3 \approx k, \quad p_4 \approx 0. \quad (14)$$

При вычислении функций  $\psi_i(\tau, \lambda)$  можно ограничиться небольшим количеством членов ряда, так как согласно (3),  $\tau^2 < k^{-1}$ . Обозначим  $\tau^2 = x$  и применяя метод последовательного интегрирования по частям, асимптотическое разложение  $G_i(x, \lambda)$  получим в виде

$$G_i(x, \lambda) = \frac{1}{2} \mu_2^{-\lambda} \int e^{\sqrt{\mu_2} x} \varphi_i(x) x^{-2\lambda} dx = \frac{1}{2} \mu_2^{-\lambda} e^{\sqrt{\mu_2} x} \sum_{n=1}^{\infty} \frac{(-1)^{n-1} [\varphi_i(x) x^{-2\lambda}]^{(n-1)}}{(\sqrt{\mu_2})^n}$$

Применим формулу Лейбница для вычисления  $(n-1)$  производных произведения функций, после соответствующих преобразований и возвращения к переменной  $\tau$  представим  $G_i(\tau, \lambda)$  в форме

$$\begin{aligned} G_i(\tau, \lambda) &= 2A^{-2}e^{-c_2/kA} \mu_2^{-1/2(\lambda+1)} v_i \tau^{-2\lambda-1} e^{\sqrt{\mu_2} \tau^2} \left[ \psi_i(\tau, \lambda) + \frac{\xi_i(\tau, \lambda)}{2\sqrt{\mu_2} \tau^2} \right] \\ \xi_i(\tau, \lambda) &= \sum_{k=1}^{\infty} (-1)^k \varepsilon_k(\tau, \lambda) \omega_i^{(k)}(\tau, \lambda), \quad \varepsilon_k(\tau, \lambda) = 1 + \frac{1}{k!} \sum_{n=1}^{\infty} \frac{\Gamma(k+n)\Gamma(n+2\lambda)}{\Gamma(n)\Gamma(2\lambda)(\sqrt{\mu_2} \tau^2)^n} \\ \omega_i^{(k)}(\tau, \lambda) &= e^{p_i \tau^2} \left[ \left( \frac{p_i}{\sqrt{\mu_2}} \right)^{k-1} + \left( \frac{p_i}{\sqrt{\mu_2}} \right)^{k-2} \frac{k-1}{1!} \frac{\lambda-3/2}{\sqrt{\mu_2} \tau^2} + \right. \\ &\quad \left. + \left( \frac{p_i}{\sqrt{\mu_2}} \right)^{k-3} \frac{(k-1)(k-2)}{2!} \frac{(\lambda-3/2)(\lambda-5/2)}{(\sqrt{\mu_2} \tau^2)^2} + \dots \right] \quad (i=1,2,3,4) \\ \omega_i^{(k)}(\tau, \lambda) &= \tau^2 e^{p_i \tau^2} \left[ \left( \frac{p_i}{\sqrt{\mu_2}} \right)^{k-1} + \left( \frac{p_i}{\sqrt{\mu_2}} \right)^{k-2} \frac{k-1}{1!} \frac{\lambda-1/2}{\sqrt{\mu_2} \tau^2} + \right. \\ &\quad \left. + \left( \frac{p_i}{\sqrt{\mu_2}} \right)^{k-3} \frac{(k-1)(k-2)}{2!} \frac{(\lambda-1/2)(\lambda-3/2)}{(\sqrt{\mu_2} \tau^2)^2} + \dots \right] \quad (i=5,6), \quad \sqrt{\mu_2} \gg 2|\lambda|\tau^{-2} \quad (15) \end{aligned}$$

$\Gamma$  — обозначает гамма-функцию.

Подставляя (12), (13), (15) в (11) и учитывая (14), получим приближенный закон изменения угла атаки

$$\begin{aligned} \alpha &= \alpha_0 \exp \left[ - \left( \sqrt{\mu_2} + \frac{1}{2} k \right) (\tau^2 - \tau_0^2) \right] \left( \frac{\tau_0}{\tau} \right)^{1-2\lambda} + \\ &+ \frac{\alpha_1 R_1(\tau, \lambda)}{\sqrt{\mu_2} \tau^2} \exp \left[ - \frac{1}{2} k (\tau^2 - \tau_0^2) \right] \left( \frac{\tau_0}{\tau} \right)^{2\lambda-1} + \frac{2R_2(\tau, \lambda)}{A^2 \sqrt{\mu_2} \tau^2} \exp \left[ - \frac{1}{2} k (\tau^2 - \tau_0^2) \right] \\ \alpha_1 &= \frac{\alpha_0}{AV_0 \sin \theta_0} + \left( \frac{1}{2} - \lambda \right) \alpha_0 + \alpha_0 \tau_0^2 \left( \sqrt{\mu_2} + \frac{1}{2} k \right) \\ R_1(\tau, \lambda) &= \eta(\tau, \lambda) - \eta(\tau_0, \lambda) \left( \frac{\tau_0}{\tau} \right)^{-4\lambda} \exp[-\sqrt{\mu_2}(\tau^2 - \tau_0^2)] \\ R_2(\tau, \lambda) &= \sum_{i=1}^6 v_i \left[ \psi_i(\tau, \lambda) + \frac{\xi_i(\tau, \lambda)}{2\sqrt{\mu_2} \tau^2} \right] - \left( \frac{\tau_0}{\tau} \right)^{-2\lambda-1} \exp[-\sqrt{\mu_2}(\tau^2 - \tau_0^2)] \times \\ &\times \sum_{i=1}^6 v_i \left[ \psi_i(\tau_0, \lambda) - \frac{\xi_i(\tau_0, \lambda)}{2\sqrt{\mu_2} \tau_0^2} \right] - R_1(\tau, \lambda) e^{-\sqrt{\mu_2} \tau_0^2} \left( \frac{\tau_0}{\tau} \right)^{2\lambda-1} \sum_{i=1}^6 v_i \psi_i(\tau_0, \lambda). \end{aligned} \quad (16)$$

Условия применимости соотношений (16) определяются допущениями, принятymi при их получении

$$\sqrt{\mu_2} \tau_0^2 \gg \lambda^2, \quad \sqrt{\mu_2} \tau_0^2 \gg 2|\lambda|, \quad \tau^2 < k^{-1} \quad (17)$$

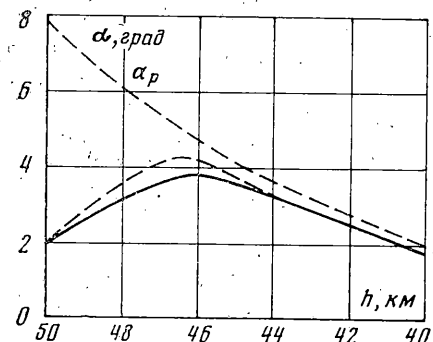
При вычислении функций, заданных асимптотическими разложениями, соответствующий ряд необходимо обрывать на члене, с которого начинается его возрастание.

Из (17) следует, что  $\mu_2 \gg \rho_0^{-2}$ , т. е. определяется высотой  $h_0$ , с которой начинается управление. Оценку угла атаки в установившемся режиме ( $\tau \gg \tau_0$ ) можно получить из (16), если в разложениях для  $\psi_i(\tau, \lambda)$  ограничиться первым слагаемым и положить  $e^{rh^2} \approx 1$ ,  $\xi_i(\tau, \lambda) \approx -1$ ,  $e^{-\sqrt{\mu_2} h^2} \approx 1$

$$\begin{aligned} \alpha &= \alpha_p \left( 1 + \frac{ba-a}{A^2 \sqrt{\mu_2} (\lambda^{-1/2})} \right) \left( 1 - \frac{\lambda^{-1/2}}{\sqrt{\mu_2} \tau^2} \right) + \\ &+ \frac{2N}{A^2 \sqrt{\mu_2} \tau^2} \left( \frac{\tau^2}{2\lambda+1} - \frac{1}{2\sqrt{\mu_2}} \right) \\ &(\lambda \geq 2), \quad (\sqrt{\mu_2} \tau_0^2 > 10) \end{aligned} \quad (18)$$

Соотношение (18) позволяет оценить  $\mu_2$ , л исходя из заданной точности отработки программного угла атаки  $\alpha_p$ . На фигуре сравниваются значения  $\alpha(h)$ , полученные численным интегрированием (сплошная линия) и по формуле (16) (пунктирная линия) при начальных

условиях  $h_0 = 50$  км,  $V_0 = 5$  км/сек,  $\theta_0 = 15^\circ$ ,  $\alpha_0 = 2^\circ$ ,  $\alpha_0' = 0$  и параметрах  $ba^{-1} = 200$ ,  $c_2 A^{-1} = 10^4$ ,  $a = 0$ ,  $c_1 A^{-2} = 2.5 \cdot 10^4$ ,  $N = 0$ , т. е. при  $\mu_2 = 10^8$  и  $\lambda = 2$ . Следует отметить, что значение  $\mu_2$  выбрано минимальным ( $\sqrt{\mu_2} \tau_0^2 \sim 9$ ), а  $\lambda$  — максимальным ( $\lambda^2 = 4$ ), т. е. На пределе выполнимости (17). Для уменьшения времени переходного процесса и статической ошибки следует увеличить  $\mu_2$ . При этом точность (16) повысится, так как асимптотические разложения будут представлять соответствующие функции с большей точностью.



#### ЛИТЕРАТУРА

Поступила 17 VI 1974

1. Приварников О. А. Аналитический метод решения некоторых задач динамики спуска. Изв. АН СССР. МТТ, 1974, № 2.
2. Камке Э. Справочник по обыкновенным дифференциальным уравнениям. М., «Наука», 1965.